

# Scattering Cinematica Relativistica

IX – Cinematica ai colliders adronici

# Colliders adronici - I

ISR = Intersecting Storage Ring (CERN anni '70)

pp 31 GeV/fascio

S $p\bar{p}$ S = Super p $\bar{p}$  Synchrotron (CERN anni '80)

p $\bar{p}$  270-310 GeV/fascio

Tevatron (Fermilab dagli anni '90)

p $\bar{p}$  1 TeV/fascio

RHIC = Relativistic Heavy Ion Collider (BNL 3<sup>o</sup> millennio)

ioni 200 GeV/nucleone\*fascio

LHC = Large Hadron Collider (CERN 3<sup>o</sup> millennio)

pp 7 TeV/fascio

ioni 2.7 TeV/nucleone\*fascio

# Colliders adronici - II

Caratteristiche essenziali:

$\sqrt{s}$  (molto) elevata

Luminosita' (relativamente) bassa

Zona di interazione piccola

Molteplicita' (n. di tracce) elevata

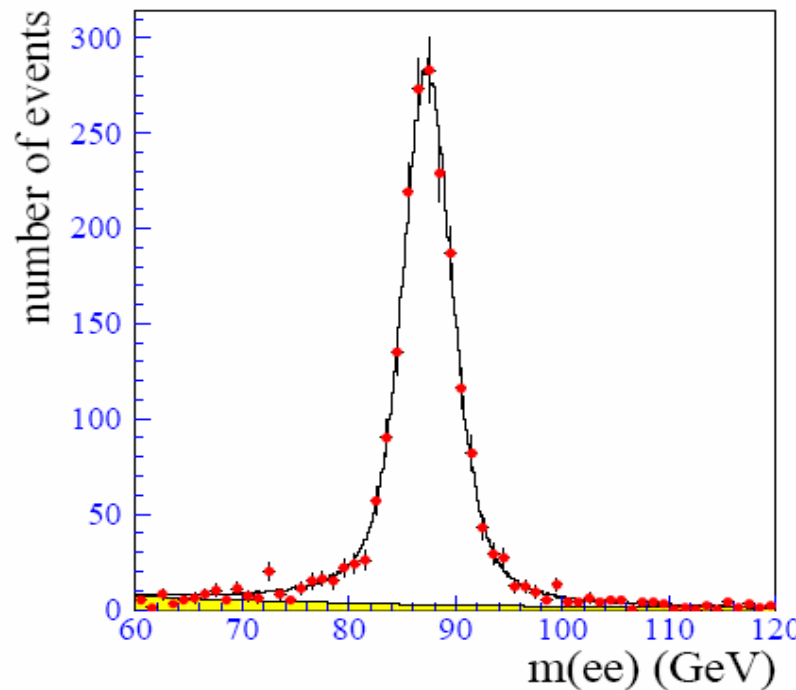
Difficoltà a coprire i coni in avanti/indietro

→ *Non realistico puntare a ricostruzione completa dell'evento*

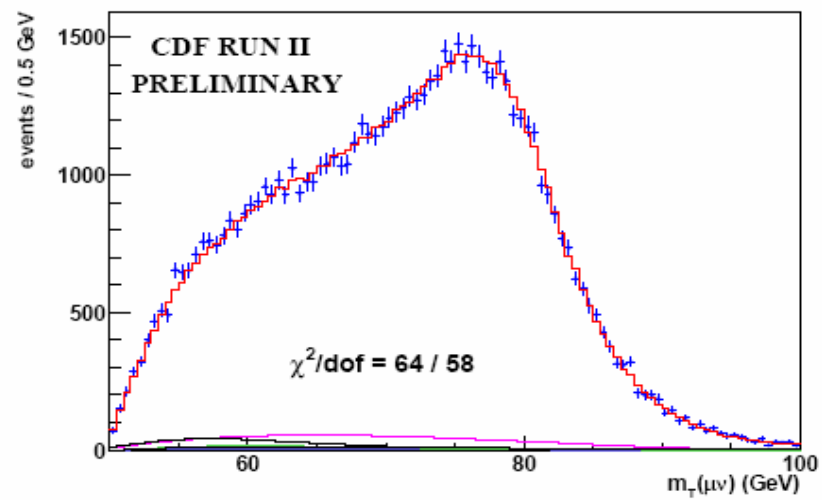
# Cinematica completa e incompleta

Decadimenti dei bosoni elettrodebolli

D0  $Z \rightarrow e^+ e^-$



CDF  $W \rightarrow \mu\nu$



# Cinematica partonica - I

Riferimento del CM: quasi sempre coincide con il LAB

Eccezione importante: ISR (angolo di collisione  $15^0$ )

Eccezione non importante: LHC (angolo di collisione  $0.01^0$ )

Ma: il CM della collisione fra costituenti (CM partonico) diverso dal CM  $\rightarrow E_{tot}, p_{\parallel}$  della collisione partonica non conosciuti

Quindi: stato iniziale conosciuto solo parzialmente

Necessario separare la cinematica della collisione in:

*Trasversa* : Condizioni iniziali conosciute

*Longitudinale* : Condizioni iniziali sconosciute

# Cinematica partonica - II

Grandezze cinematiche utili:

Rapidita':

$$y = \frac{1}{2} \ln \frac{E + p_{\parallel}}{E - p_{\parallel}} \leftrightarrow p_z = E \tanh y$$

Pseudorapidita' (utile ad alta energia):

$$\eta = -\ln \left( \tan \frac{\theta}{2} \right)$$

$$y = \frac{1}{2} \ln \frac{E + p_{\parallel}}{E - p_{\parallel}} \approx \frac{1}{2} \ln \frac{1 + \cos \theta}{1 - \cos \theta} = -\frac{1}{2} \ln \frac{1 - \cos \theta}{1 + \cos \theta} = -\frac{1}{2} \ln \frac{\sin^2 \theta/2}{\cos^2 \theta/2}$$

$$\rightarrow y \approx -\frac{1}{2} \ln (\tan^2 \theta/2) = -\ln (\tan \theta/2)$$

# Cinematica partonica - III

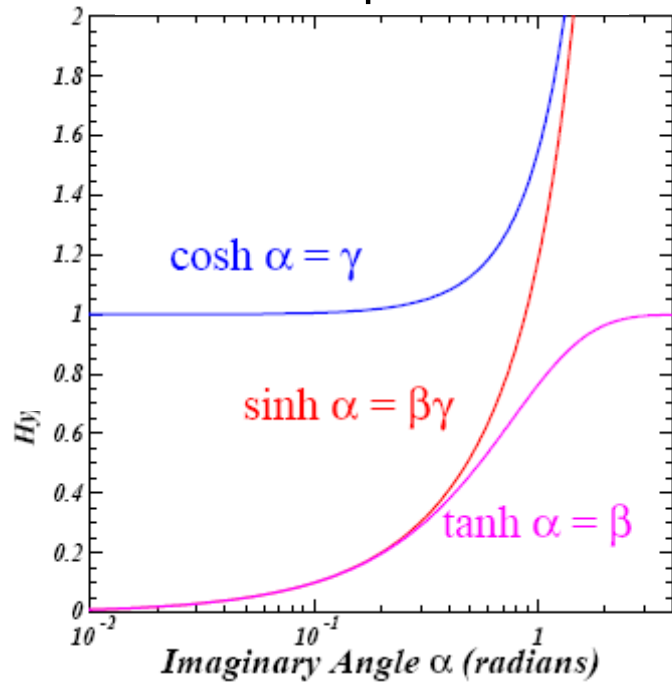
Esempi:  $P_T = 0 \rightarrow y_{\max}$

$pp, p\bar{p}$

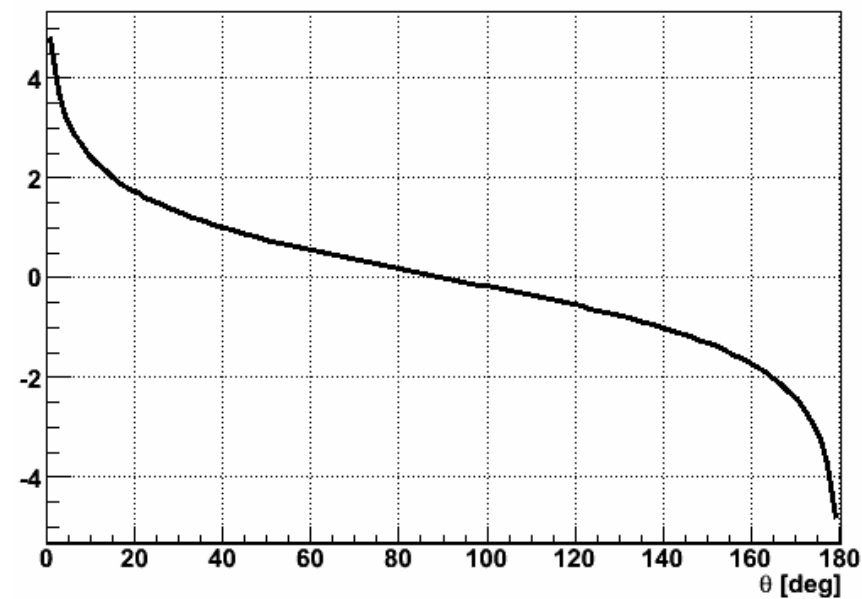
$TeV$	2	14
-------	---	----

$y_{\max}$	7.7	9.6
------------	-----	-----

Funzioni iperboliche



Pseudorapidita' e angolo polare



# Cinematica partonica - IV

Proprieta' principale:

$$\begin{aligned}y &= \frac{1}{2} \ln \frac{E + p_{\parallel}}{E - p_{\parallel}} \rightarrow \frac{1}{2} \ln \frac{\gamma(E + \beta p_{\parallel}) + \gamma(p_{\parallel} + \beta E)}{\gamma(E + \beta p_{\parallel}) - \gamma(p_{\parallel} + \beta E)} \\&= \frac{1}{2} \ln \frac{(E + p_{\parallel})(1 + \beta)}{(E - p_{\parallel})(1 - \beta)} = \frac{1}{2} \ln \frac{(E + p_{\parallel})}{(E - p_{\parallel})} + \frac{1}{2} \ln \frac{(1 + \beta)}{(1 - \beta)}\end{aligned}$$

Ossia:

$$y \rightarrow y + y_b$$

Rapidita': grandezza additiva

# Cinematica partonica - V

Elemento di volume nello spazio degli impulsi:

$$d^3\mathbf{P} = P^2 dP d\Omega = dP_{||} P_T dP_T d\varphi$$

$$\frac{d^3\mathbf{P}}{E} = \frac{dP_{||} P_T dP_T d\varphi}{E}$$

$$dy = \frac{dP_{||}}{E} \rightarrow \frac{d^3\mathbf{P}}{E} = dy P_T dP_T d\varphi$$

$$\int (dy P_T dP_T) d\varphi = 2\pi dy P_T dP_T = 2\pi dy \frac{1}{2} d(P_T^2) = \pi dy d(P_T^2)$$

Sezione d'urto differenziale per una data particella. inclusiva:

Forma invariante

$$\rightarrow \frac{d\sigma}{\frac{d^3\mathbf{P}}{E}} = E \frac{d\sigma}{d^3\mathbf{P}} = \frac{1}{\pi} \frac{d\sigma}{dy d(P_T^2)} = \frac{1}{2\pi P_T} \frac{d\sigma}{dy dP_T}$$

# Cinematica partonica - VI

Richiamo:

Trasformazione di Lorentz della *parte longitudinale* di un 4-vettore:

$$\begin{pmatrix} x' \\ ct' \end{pmatrix} = \begin{pmatrix} \cosh y & -\sinh y \\ -\sinh y & \cosh y \end{pmatrix} \begin{pmatrix} x \\ ct \end{pmatrix}$$

Quindi:

$$\rightarrow \begin{pmatrix} p_{||}' \\ E' \end{pmatrix} = \begin{pmatrix} \cosh y & -\sinh y \\ -\sinh y & \cosh y \end{pmatrix} \begin{pmatrix} p_{||} \\ E \end{pmatrix}$$

Limite di alta energia:

$$\rightarrow \begin{pmatrix} p_{||}' \\ E' \end{pmatrix} \simeq \begin{pmatrix} \cosh \eta & -\sinh \eta \\ -\sinh \eta & \cosh \eta \end{pmatrix} \begin{pmatrix} p_{||} \\ E \end{pmatrix}$$

# Cinematica partonica - VII

Grandezze longitudinali

$$\begin{cases} P_A = (E_A, 0, 0, p_A) \\ P_B = (E_A, 0, 0, -p_A) \end{cases}$$

4-impulsi delle particelle incidenti

$$\begin{cases} p_1 = x_1 P_A \\ p_2 = x_2 P_B \end{cases}$$

4-impulsi dei partoni incidenti

$$\beta_{CM} = \frac{x_1 - x_2}{x_1 + x_2}$$

Vel. del CM partonomico nel CM=LAB

$$y_{CM} = \frac{1}{2} \ln \frac{1 + \beta_{CM}}{1 - \beta_{CM}} = \frac{1}{2} \ln \frac{x_1}{x_2} \quad \text{Rapidita' del CM partonomico nel CM=LAB}$$

$$\begin{pmatrix} E' \\ p_{\parallel}' \end{pmatrix} = \begin{pmatrix} \gamma & -\gamma \beta_{CM} \\ -\gamma \beta_{CM} & \gamma \end{pmatrix} \begin{pmatrix} E \\ p_{\parallel} \end{pmatrix} = \begin{pmatrix} \cosh y_{CM} & -\sinh y_{CM} \\ -\sinh y_{CM} & \cosh y_{CM} \end{pmatrix} \begin{pmatrix} E \\ p_{\parallel} \end{pmatrix}$$

# Cinematica partonica - VIII

## Grandezze trasverse

$$p_T^2 = p_x^2 + p_y^2$$

$$p_T = p \sin \theta$$

$$E_T^2 = p_x^2 + p_y^2 + m^2 = p_T^2 + m^2 = E^2 - p_{\parallel}^2$$

$$p_{\parallel} = E \tanh y$$

$$E_T^2 = E^2 - p_{\parallel}^2 = E^2 - E^2 \tanh^2 y$$

$$\rightarrow E = E_T \cosh y$$

$$\rightarrow p_{\parallel} = E_T \sinh y$$

$$y \approx -\ln(\tan \theta/2)$$

$$\rightarrow E_T = E(1 - \tanh^2 y)^{1/2} \approx E \left( 1 - \frac{\frac{\cos \theta/2}{\sin \theta/2} - \frac{\sin \theta/2}{\cos \theta/2}}{\frac{\cos \theta/2}{\sin \theta/2} + \frac{\sin \theta/2}{\cos \theta/2}} \right)^{1/2} = E \left[ 1 - (\cos^2 \theta/2 - \sin^2 \theta/2) \right]^{1/2}$$

$$\rightarrow E_T \approx E \sin \theta$$

# Cinematica partonica - IX

Componenti di un 4-impulso in termini di quantita' trasverse e rapidita':

$$p = \begin{pmatrix} E, & \underbrace{P_x, P_y}_{P_T^2 = P_x^2 + P_y^2}, & \underbrace{P_z}_{P_{\parallel} = P_z} \end{pmatrix}$$

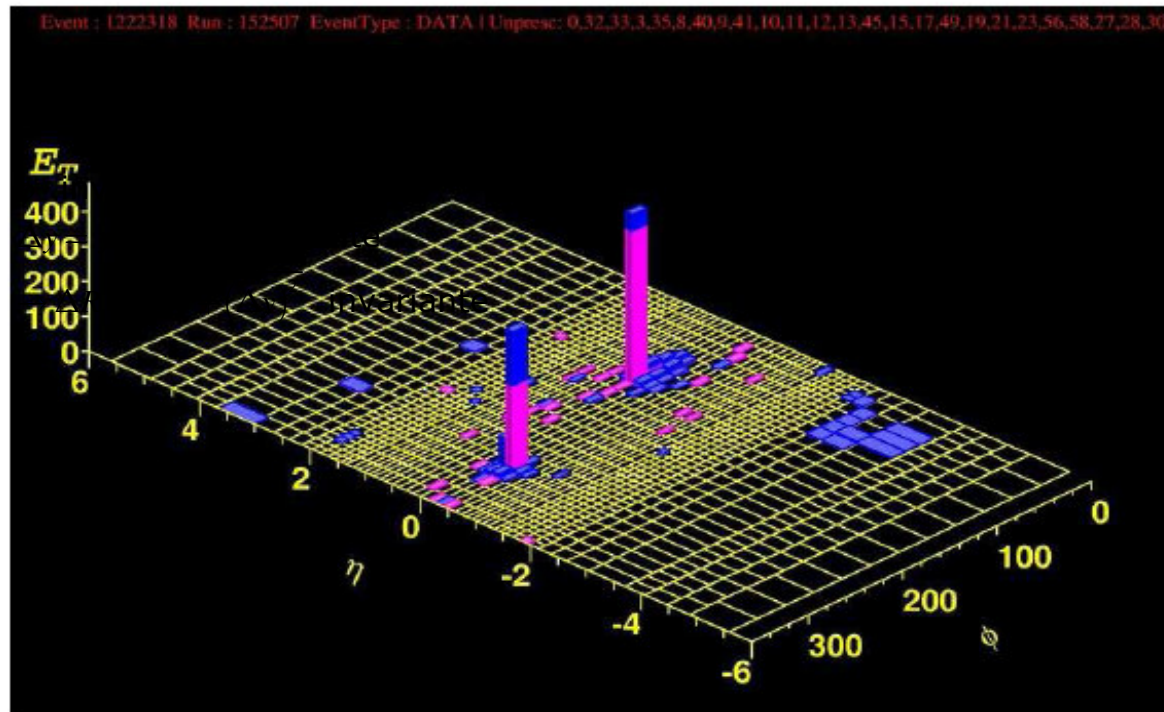
$$P_T = \sqrt{P^2 - P_{\parallel}^2}$$

$$\rightarrow \begin{cases} P = P_T \cosh \eta \\ P_{\parallel} \approx P_T \sinh \eta \end{cases}$$

$$E \approx P, E_T \approx P_T$$

$$\rightarrow p \approx (E_T \cosh y, E_T \sin \phi, E_T \cos \phi, E_T \sinh y)$$

# LEGO - plot



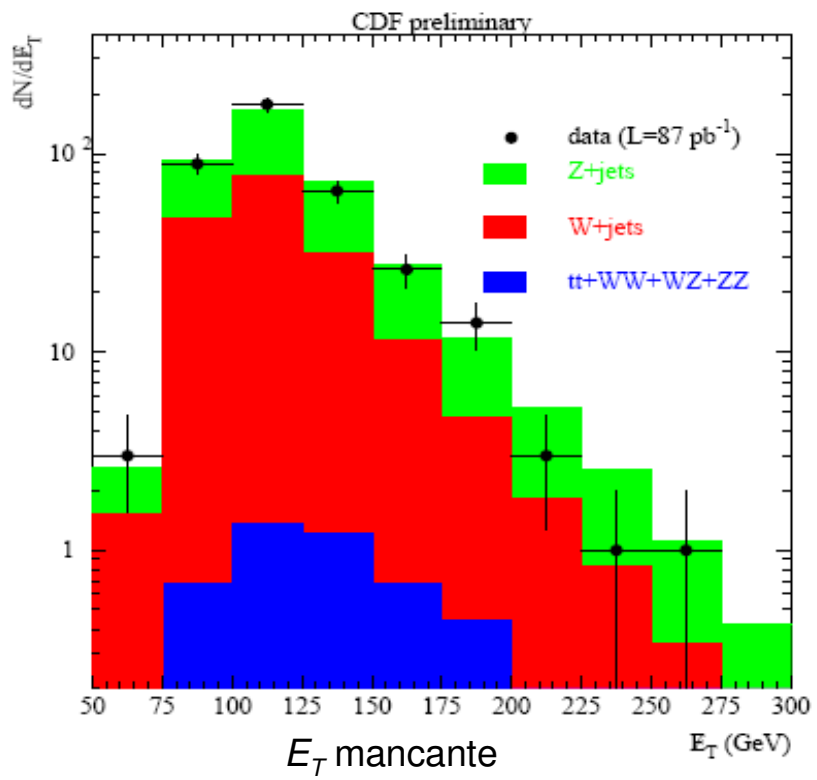
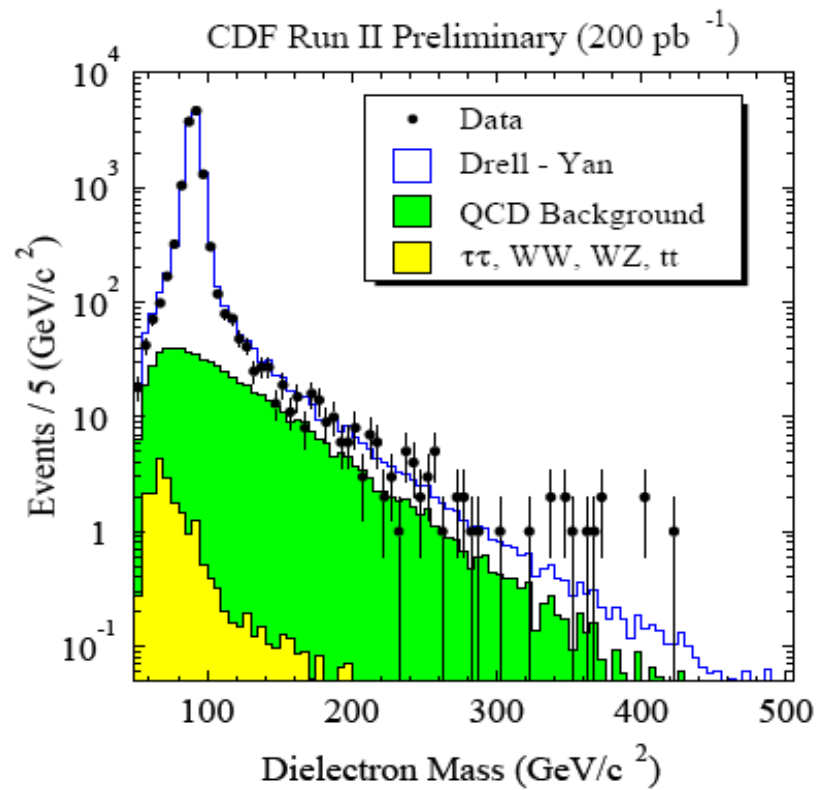
A CDF di-jet event on a lego plot in the  $\eta - \phi$  plane.

$\Delta\phi, \Delta y$  invarianti

$$\rightarrow \Delta R = \sqrt{(\Delta\phi)^2 + (\Delta y)^2} \text{ invarianti}$$

Quindi: separazione fra i jet  
indipendente dalla  $x$  dei partoni  
iniziali

# Uso della cinematica



# Scoperta del bosone W - I

Reazione studiata al collider del CERN:

$$p + \bar{p} \rightarrow W^+ + X$$

Corrispondente processo partonico (= fra costituenti del protone)

$$q + \bar{q} \rightarrow W^+ \rightarrow X$$

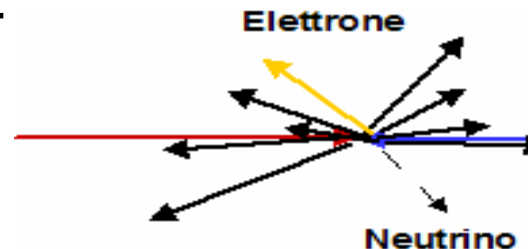
Modo di decadimento osservato per il W:

$$W^+ \rightarrow e^+ + \nu_e$$

Osservabili rilevanti:

$E_e$  Energia dell'elettrone

$E_{T \text{ missing}} = 0 - E_T^{\text{vista}} \approx \sum_{i=1, N \text{ tracce}} E_i \sin \theta_i$  Energia trasversa mancante nell'evento



# Scoperta del bosone $W$ - II

$\frac{d\sigma}{d \cos \theta^*}$  = funzione di  $\cos \theta^*$  a variazione lenta

$$\frac{d\sigma}{dp_T} = \frac{d\sigma}{d \cos \theta^*} \frac{d \cos \theta^*}{dp_T}$$

$$p_T = p^* \sin \theta^* = \frac{M_W}{2} \sin \theta^*$$

$$\rightarrow \sin \theta^* = \frac{2p_T}{M_W}$$

$$\rightarrow \cos \theta^* = \sqrt{1 - \sin^2 \theta^*} = \sqrt{1 - \left(\frac{2p_T}{M_W}\right)^2}$$

$$\rightarrow \frac{d \cos \theta^*}{dp_T} = \frac{\frac{4p_T}{M_W}}{2\sqrt{1 - \left(\frac{2p_T}{M_W}\right)^2}} = \frac{2p_T}{M_W \sqrt{1 - \left(\frac{2p_T}{M_W}\right)^2}}$$

$$\rightarrow \frac{d\sigma}{dp_T} = A(\cos \theta^*) \frac{d \cos \theta^*}{dp_T} \approx K \frac{2p_T}{M_W \sqrt{1 - \left(\frac{2p_T}{M_W}\right)^2}}$$

Picco jacobiano

Misura massa del  $W$

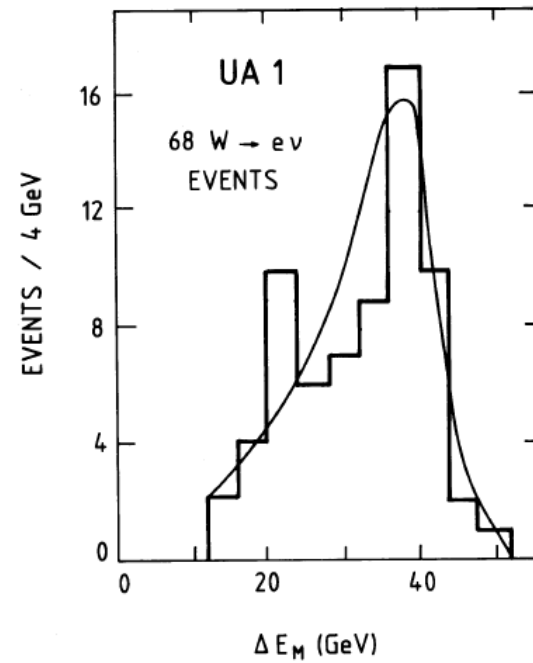


Fig. 14. The distribution of the missing transverse energy for those events in which there is a single electron with  $E_T > 15$  GeV, and no coplanar jet activity. The curve represents the resolution function for no missing energy normalized to the three lowest missing-energy events.